

die grünlich-gelben, stark fluoreszierenden Kristalle von (4a) bzw. (4b) mit Methanol.

Eingegangen am 3. Dezember 1973 [Z 967]

[1] a) H. J. Bestmann, R. W. Saalfrank u. J. P. Snyder, Chem. Ber. 106, 2601 (1973); b) O. J. Muscio Jr. u. T. L. Jacobs, Tetrahedron Lett. 1969, 2867; c) T. L. Jacobs u. O. J. Muscio Jr., ibid. 1970, 4829; d) E. V. Dehmlow u. G. C. Ezimora, ibid. 1972, 1265.

[2] G. Eglington, E. R. H. Jones, G. H. Mansfield u. M. C. Whiting, J. Chem. Soc. 1954, 3197.

[3] P. D. Landor u. S. R. Landor, J. Chem. Soc. 1963, 2707.

[4] R. W. Saalfrank, Tetrahedron Lett. 1973, 3985.

[5] Alle Verbindungen ergaben korrekte Werte bei der C,H-Analyse. In den Massenspektren trat jeweils die zu erwartende Molekül-Massenlinie auf.

[6] Ich danke Herrn Prof. Dr. F. P. Schäfer, Göttingen, für die Aufnahme der Farbstofflasers-Emissionsspektren. Vgl. hierzu auch D. Basting, F. P. Schäfer u. B. Steyer, Appl. Phys., im Druck.

[7] Die Bestimmung der Stereochemie der Lactone (5) durch röntgenographische Kristallstrukturanalyse ist noch nicht abgeschlossen.

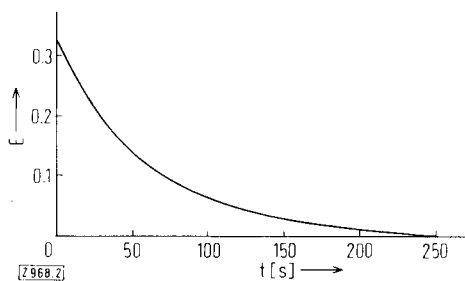


Abb. 2. Kinetischer Verlauf der Kupplungsreaktion

H-Gly-Ala-Pro-PEG (10^{-2} mol/l) + Ac₂O (10^{-2} mol/l)

Verfolgung der Anhydridbande bei 1820 cm^{-1} . v_{rel} (bezogen auf Reaktion a in Abb. 1) = 1.11.

v_{rel} kann in einem Konzentrationsbereich von 10^{-1} bis 10^{-3} mol/l gemessen werden. Zur Ermittlung absoluter Geschwindigkeitskonstanten muß eine Eichkurve aufgenommen und in hoher Verdünnung gearbeitet werden.

Die Änderung der Absorptionsbanden kann direkt in der Reaktionslösung im Durchflußverfahren gemessen werden. Daher eignet sich das Verfahren auch für heterogene Reaktionen, z. B. für die Peptidsynthese an festen Trägern^[3]. Durch die Einfachheit der Methodik ist eine breite Anwendung der IR-Spektroskopie zu kinetischen Untersuchungen denkbar.

Eingegangen am 29. Oktober 1973 [Z 968]

[1] J. J. Maher, M. E. Furey u. L. J. Greenberg, Tetrahedron Lett. 1971, 27; R. H. Andreatta u. H. Rink, Helv. Chim. Acta 56, 1205 (1973); E. Bayer, M. Mutter, R. Uhmann, J. Polster u. H. Mauser, J. Amer. Chem. Soc., im Druck.

[2] H. Schüssler u. H. Zahn, Chem. Ber. 95, 1076 (1962); H. Hagenmaier u. H. Frank, Hoppe-Seylers Z. Physiol. Chem. 353, 1973 (1972).

[3] R. B. Merrifield, Advan. Enzymol. 32, 221 (1969).

[4] M. Mutter, H. Hagenmaier u. E. Bayer, Angew. Chem. 83, 883 (1971); Angew. Chem. internat. Edit. 10, 811 (1971); M. Mutter u. E. Bayer, Nature 237, 512 (1972); Angew. Chem. 86, 101 (1974); Angew. Chem. internat. Edit. 13, 88 (1974).

Kinetische Untersuchung der Peptidkupplung^[**]

Von Manfred Mutter und Hanspaul Hagenmaier^[*]

Bis heute gibt es nur wenig Informationen über die Kinetik der Peptidkupplung^[1], obwohl gerade diese Kenntnisse Voraussetzung jeglicher Optimierung der Peptidsynthese sind. Die IR-Spektroskopie ist unseres Wissens noch nicht zu derartigen Untersuchungen herangezogen worden. Das Prinzip sei an einigen Beispielen illustriert. Bei der Peptidsynthese mit symmetrischen Anhydriden^[2] wird die Anhydridbande bei 1810 bis 1820 cm^{-1} schwächer, während zwischen 1640 und 1700 cm^{-1} eine Amidbande entsteht.

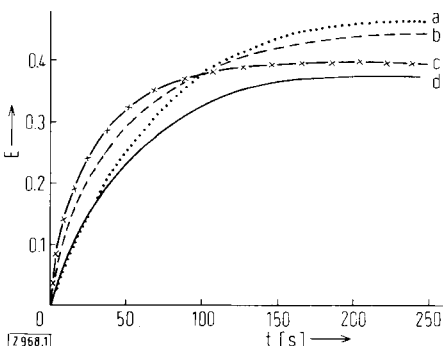


Abb. 1. Verfolgung von Kupplungsreaktionen nach der „stop-flow“-Methode im Bereich der Amidbande (1635 – 1645 cm^{-1}). Konzentration sämtlicher Reagenzien: 10^{-2} mol/l in Methylenechlorid. PEG = Polyäthylenglykol. In Klammern: relative Reaktionsgeschwindigkeit v_{rel} : a) Dibutylamin + Boc-Pro-Anhydrid (1.00); b) H-Gly-OC₂H₅ + Ac₂O (1.64); c) H-Pro-PEG [4] + Ac₂O (2.57); d) Dibutylamin + Ac₂O (1.36). Die Reaktionslösungen wurden mit einer Zweikolbenpumpe in einem pfeilförmigen Mischblock in gleichem Volumen zusammengeführt und in die Durchflußküvette (Schichtdicke 0.2 mm, NaCl) gepumpt.

Die Abbildungen 1 und 2 zeigen den kinetischen Verlauf einiger Kupplungs-(N-Acylierungs-)reaktionen. Aufgetragen ist die zeitliche Änderung der Amid- bzw. Anhydridbande. Es wurden jeweils beide Banden verfolgt; beide Kurven ergeben erwartungsgemäß die gleichen Geschwindigkeitskonstanten. Zur Bestimmung relativer Kupplungsgeschwindigkeiten

Synthese von Tetrahydrocyclotetradeca[*c*]furamen („Didehydro[14]annuleno[*c*]furanen“), 18π -Elektronen-Analoga von Isobenzofuran^{[1][****]}

Von Philip J. Beeby, Rex T. Weavers und Franz Sondheimer^[*]

Die Anellierung von Carbocyclen mit maximaler Anzahl nicht-kumulierter Doppelbindungen an die C-3—C-4-Bindung von Furan führt zu einer interessanten Verbindungsklasse. Beispiele sind die $4n$ π -Elektronensysteme Cyclobuta[*c*]furan (1)^[2] und Cycloocta[*c*]furan (3)^[3] sowie das $(4n+2)\pi$ -Elektronensystem Isobenzofuran (2)^[4]. Wir beschreiben hier die Synthese der beiden ersten makrocyclischen Beispiele dieser Reihe, der $(4n+2)\pi$ -Elektronensysteme $10,11,12,13$ -Tetrahydro- $6,7,8,9,14,15,16,17$ -octahydro-dibenzo[$6,7$: $12,13$]cyclotetradeca[*c*]furan (9) und 7,12-Dimethyl-8,9,10,11-tetrahydrocyclotetradeca[*c*]furan (12).

Die Wittig-Reaktion von 3,4-Furandicarbaldehyd (4)^[5,6] und 2 Äquivalenten des Phosphoniumsalzes (6)^[7] in Dimethylformamid mit Lithiumäthanolat in Äthanol bei 80°C führt

[*] Dr. P. J. Beeby^[**], Dr. R. T. Weavers^[***] und Prof. Dr. F. Sondheimer Chemistry Department, University College Gordon Street, London WC1H 0AJ (England)

[**] Neue Adresse: Syntex Research, Palo Alto, California 94304 (USA)

[***] Neue Adresse: Chemistry Department, University of Otago, Dunedin (Neuseeland)

[****] Diese Arbeit wurde vom Science Research Council unterstützt.